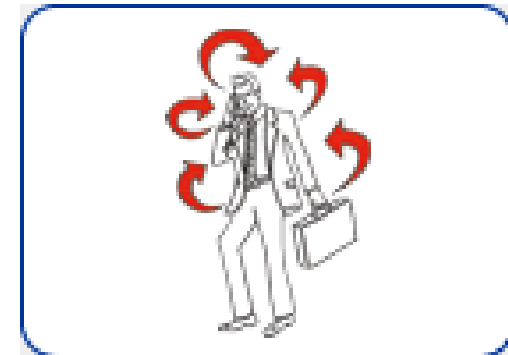




***Risultati rilevati con sistema
OMEGA WAVE sull'utilizzo di polsini
schermanti i campi elettromagnetici
su atleti professionisti in società
sportiva di Pallavolo di serie
A1 Maschile***

Premessa

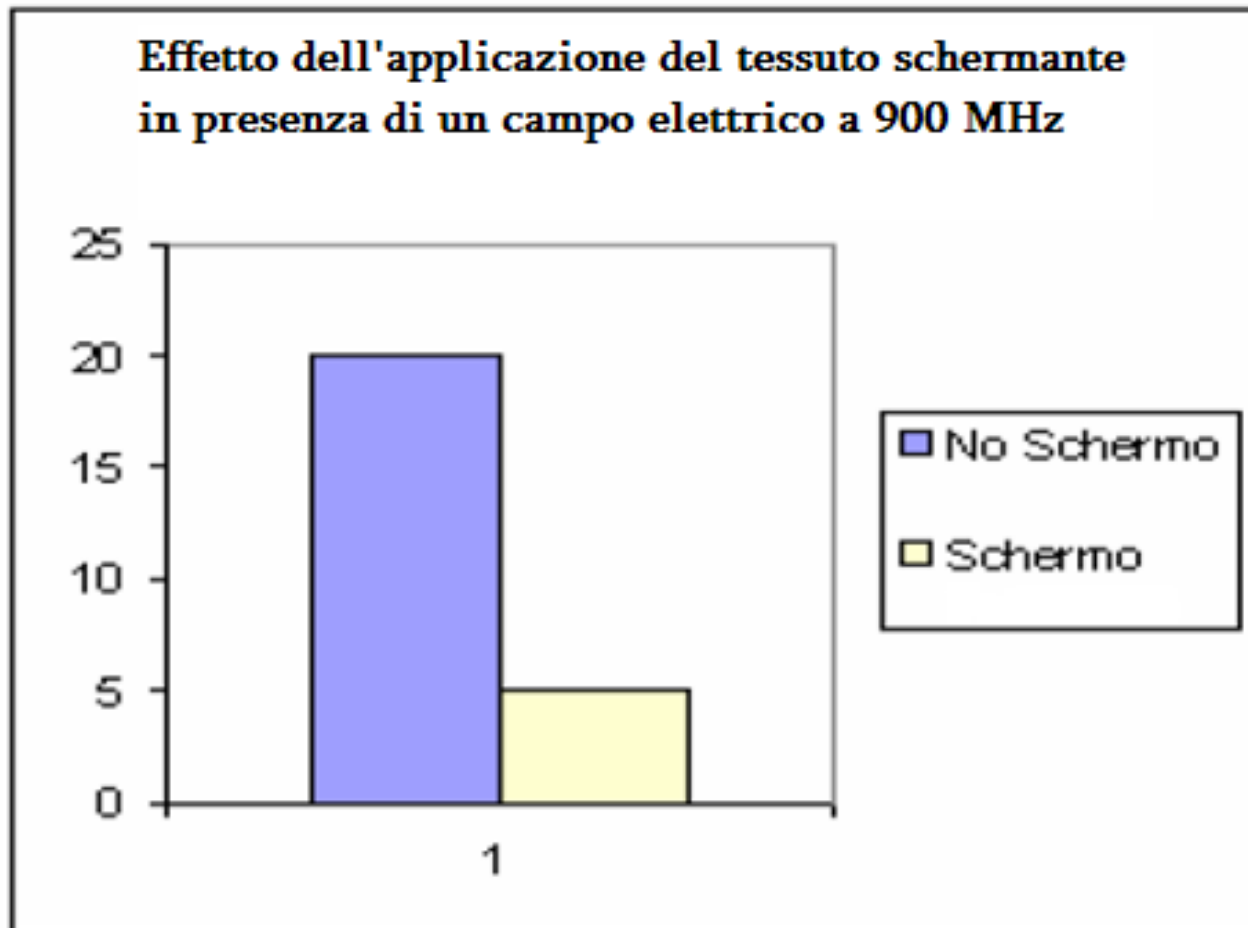


Stansport utilizzando tecnologia certificata e brevettata ha appositamente messo a punto una serie di prodotti, per la protezione degli sportivi, schermanti da onde elettro e geomagnetiche che colpiscono quotidianamente gli atleti sia durante gli allenamenti sia durante le competizioni sportive.

Nasce quindi la linea sportiva di tecnologia da indossare, i suoi prodotti sono riequilibratori bioenergetici, interagiscono positivamente a livello energetico con il corpo particolarmente indicati come fattore coadiuvante e preventivo nel trattamento delle affezioni di diversa identificazione quali:

pressione sanguigna, capillari, equilibrio, dolore, capacità respiratoria, fatica, pulsazione, consumo di ossigeno, metabolismo, allergie, congestioni del tratto respiratorio, sistema nervoso.

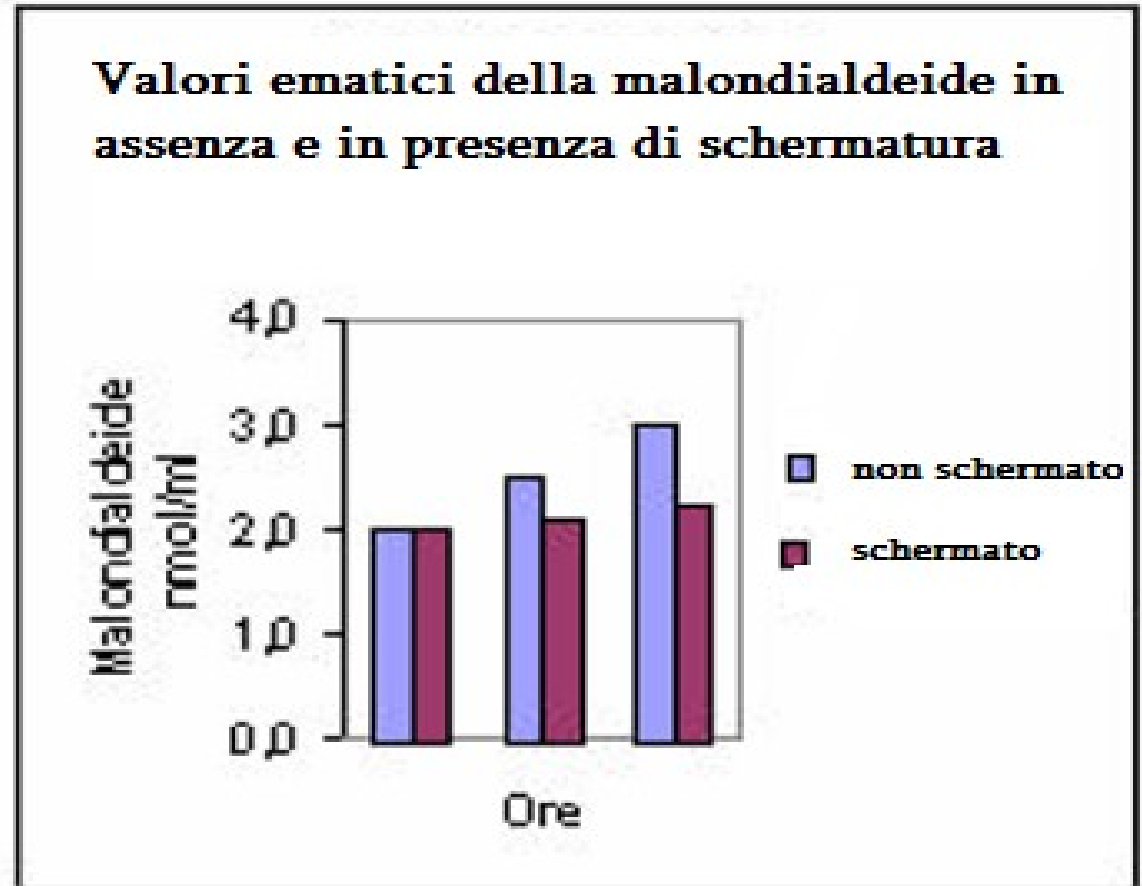
STANSPORT APPAREIL SUITABLES TO REDUCE THE MUSCULAR STRESS IN PRESENCE OF ELECTROMAGNETIC FIELD



STANSPORT APPAREIL SUITABLES TO REDUCE THE MUSCULAR STRESS IN PRESENCE OF ELECTROMAGNETIC FIELD

La schermatura dai campi elettromagnetici determina un abbassamento dei valori della malondialdeide che è l'indice del danno ossidativo a carico delle cellule.

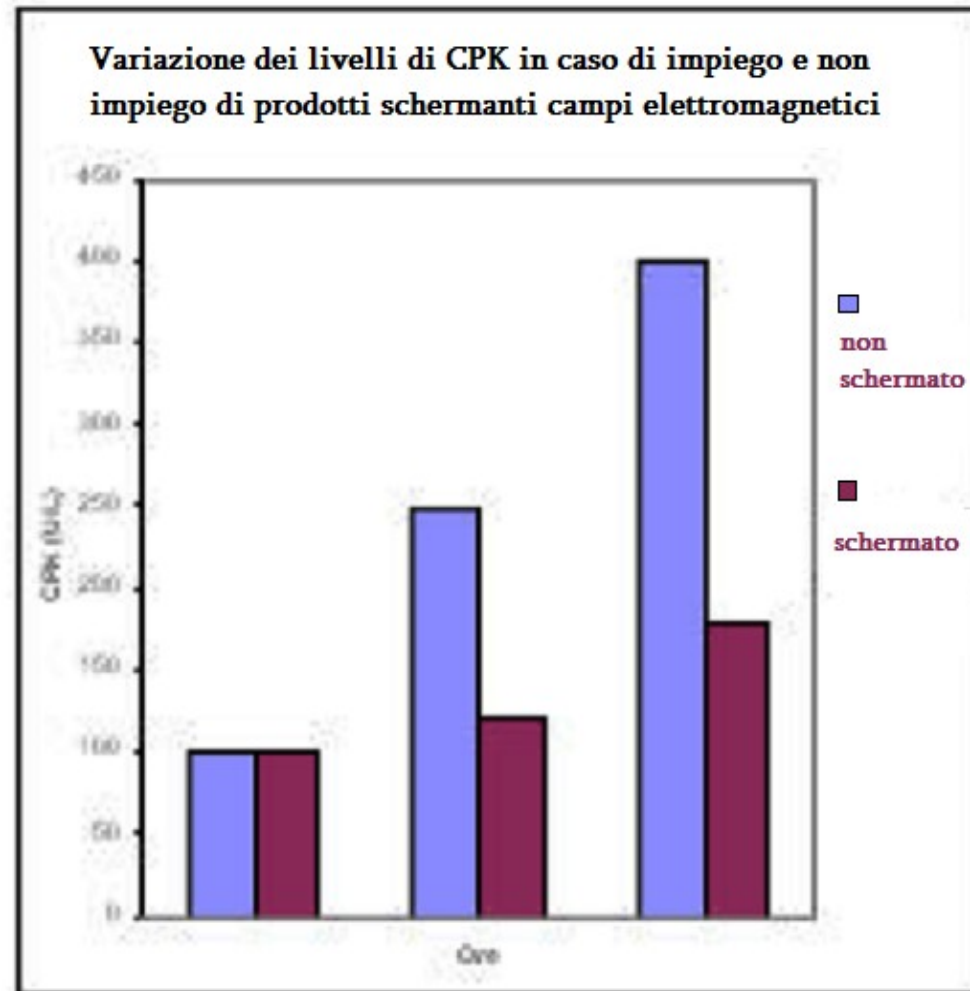
Quindi livelli più contenuti di malondialdeide sono un segnale di miglior stato delle cellule.



STANSPORT APPAREIL SUITABLES TO REDUCE THE MUSCULAR STRESS IN PRESENCE OF ELECTROMAGNETIC FIELD

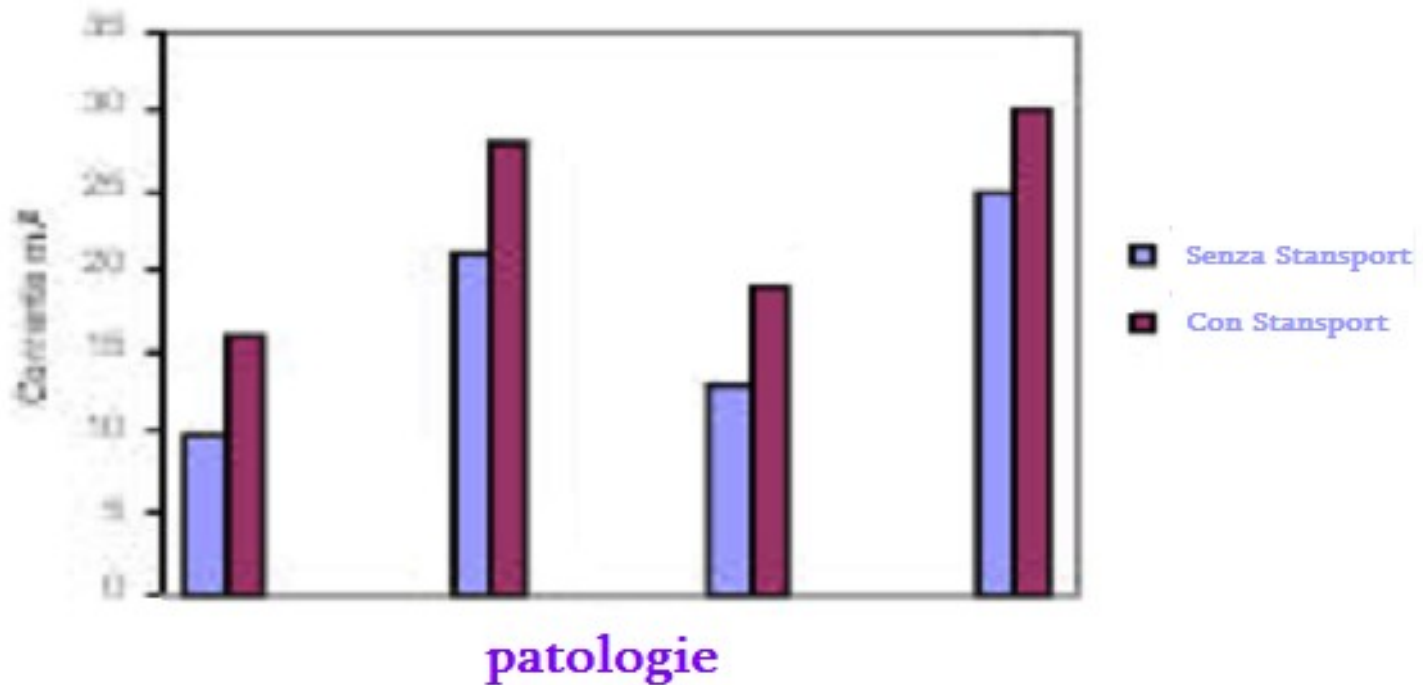
La CPK (creatinfosfochinasasi) - detta anche CK (creatinchinasi) - è un enzima presente in modo caratteristico ed elevato nel muscolo e nel miocardio Si tratta di una proteina che ha la funzione di trasformare in modo reversibile l'ATP che serve al trasporto di energia e la creatina in fosfocreatina, composto donatore di energia, essenziale per la normale attività muscolare.

L'aumento della CPK nel siero (liquido del sangue che si separa da questo in seguito alla coagulazione) può essere causato da alterazioni muscolari o anche cardiache. Quindi un aumento della CPK sierica è un segno di malattia muscolare



STANSPORT APPAREIL SUITABLES TO REDUCE THE MUSCULAR STRESS IN PRESENCE OF ELECTROMAGNETIC FIELD

Modificazione della soglia del dolore alla stimolazione elettrica mediata da prodotti Stansport



Stansport appareil for the protection from electromagnetic at radio-frequency fields

Effect of the field at radio-frequency of 960 MHz on the morphology of human keratin cells.

Human keratin cells have grown in an uniform electromagnetic field at 960 MHz with an intensity in electric field of 20 V/m for a period of 72 hours. Therefore, the cells have marked with fluorescent Phalloidina and the morphology analysed in focal microscope.

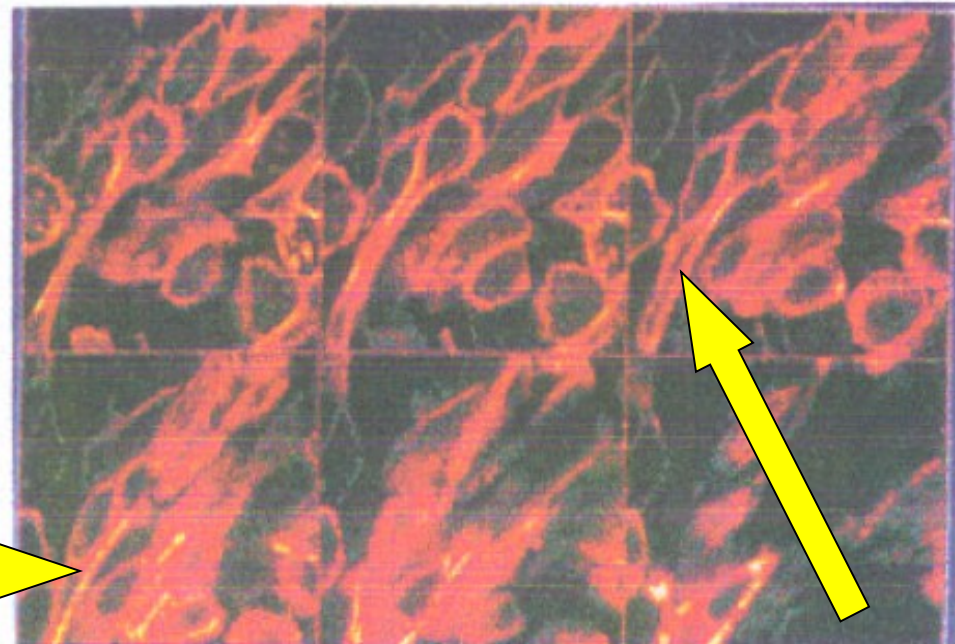
With the same test, some exposed cells protected by Ageostan tissue have been analysed, and some not exposed cells as control.

Effect of the field at radio-frequency on exposed cells.

In the picture 4 it has been reported the morphology aspect of exposed cells at field for 72 hours.

At the end of the exposition, the cells have a long form with the presence of filamentary structures that find their way in the direction of the field.

Nelle cellule sottoposte a campo elettromagnetico **sono presenti modificazioni morfologiche** quali filamenti e frastagliamento della membrana cellulare.



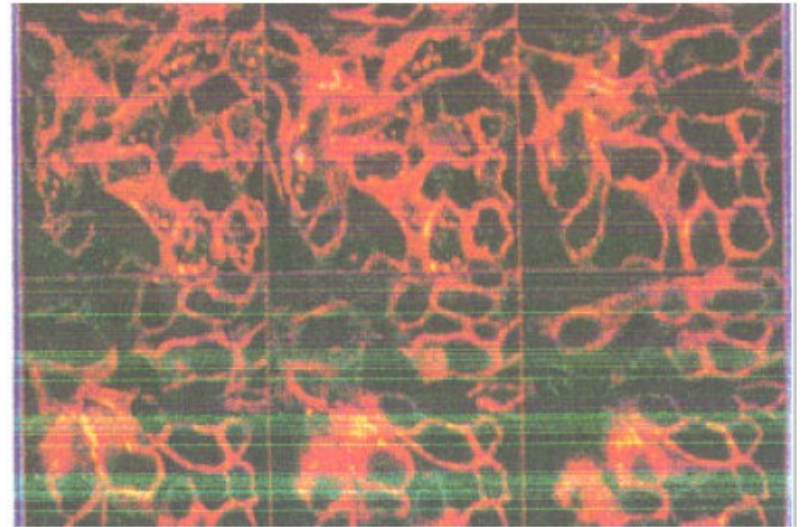
Stansport appareil for the protection from electromagnetic at radio-frequency fields

Control cells.

As control, it has studied the morphology of the same cells not exposed at magnetic field, but cultivated for the same quantity of time (72 hours).

As shown the picture 5, they present a round aspect without the presence of filamentary structures.

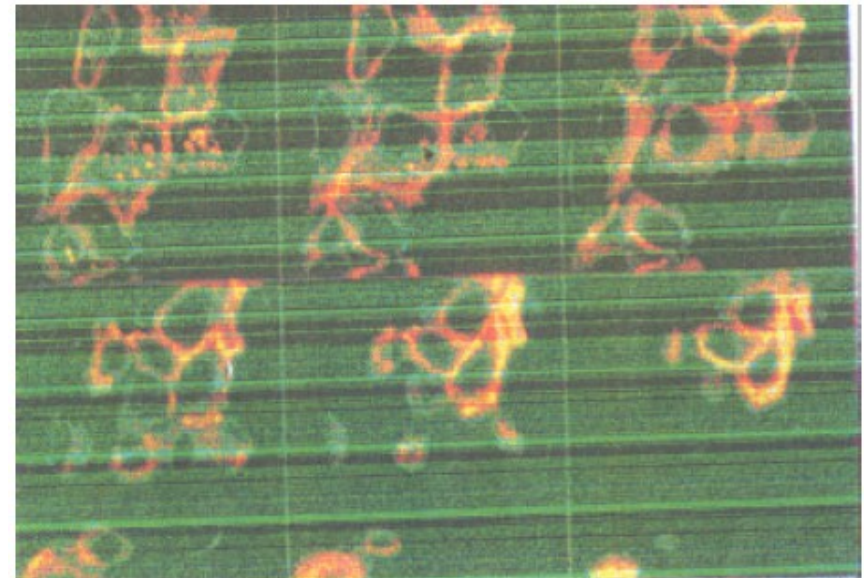
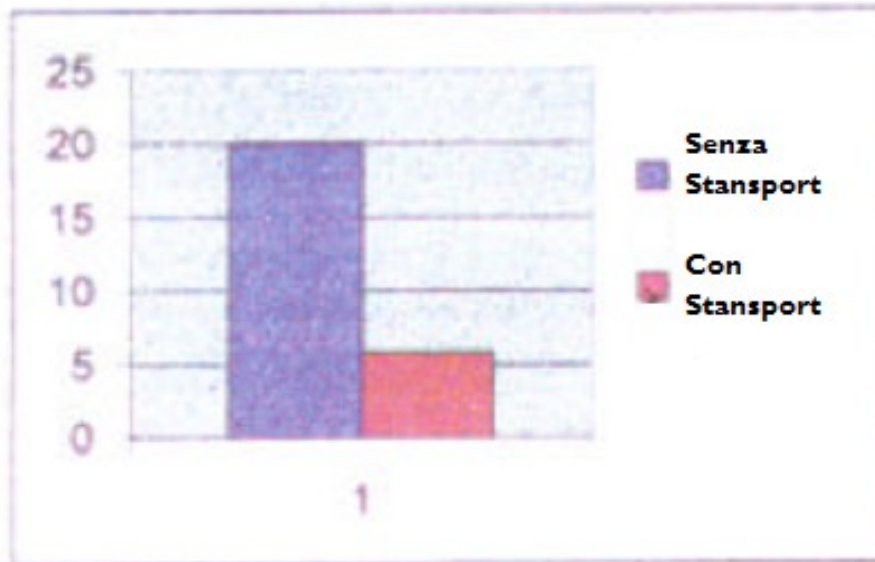
Nelle cellule **non sottoposte** a campo elettromagnetico **non sono presenti modificazioni morfologiche** della membrana cellulare.



Stansport appareil for the protection from electromagnetic at radio-frequency fields

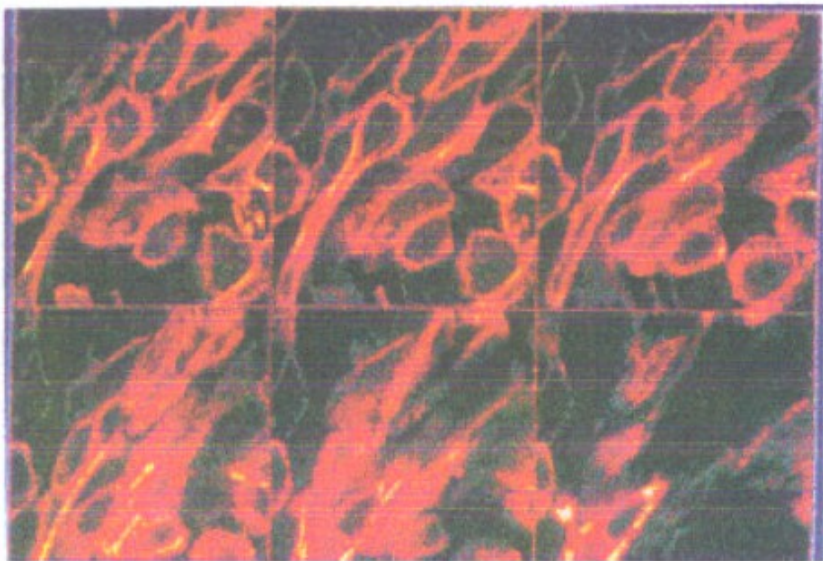
Effect of **Stansport appareil** on exposed cells in a field of 960 MHz with the intensity of 20 V/m. As shown the Picture 3, the Ageostan tissue works to reduce the intensity of the electric field from 20 V/m to 6 V/m. The screener effect results very evident in the Picture 6. As a matter of fact, also if the cells remain for 72 hours into the wave guide at 960 MHz 20 V/m, the morphologic modifications that such intensity of electric field are able to induce, in this case are absent.

Effect of **Stansport appareil** on a field of 20 V/m at 960 MHz.



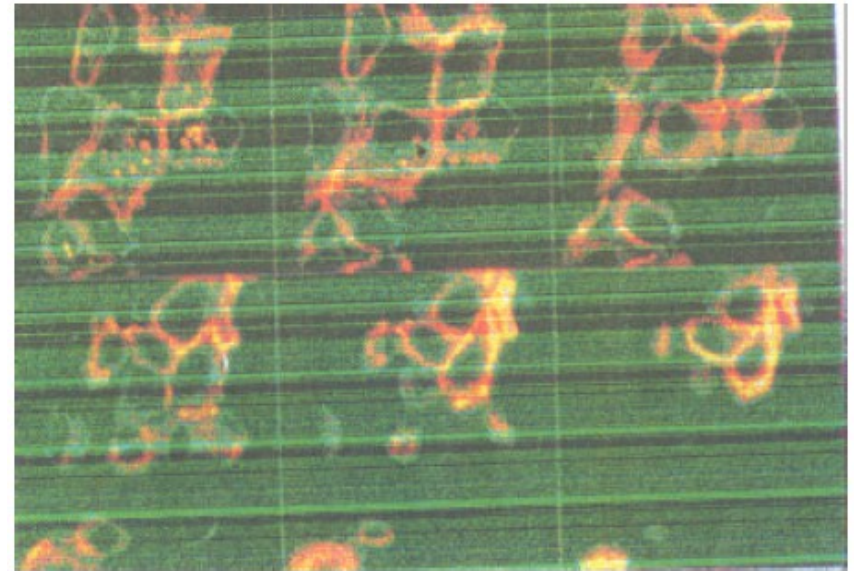
Stansport appareil for the protection from electromagnetic at radio-frequency fields

Cellule a 960 Mhz senza Stansport



UNPROTECT

Cellule a 960 Mhz con Stansport



PROTECT

Settimio Grimaldi
Institute of Experimental Medicine C.N.R.

Nelle cellule sottoposte a campo elettromagnetico ma protette dai prodotti Stansport le alterazioni morfologiche risultano minime grazie all'azione protettiva della tecnologia impiegata.



Abbiamo voluto verificare l'effetto visto in vitro applicando gli stessi principi protettivi in vivo direttamente su atleti di primario livello internazionale di una società sportiva militante nel **campionato nazionale maschile di pallavolo serie A1**, utilizzando per la raccolta e l'elaborazione dei dati uno strumento di altissimo livello i cui dati non sono manipolabili per via della blindatura dei dati e del programma utilizzato: **"OMEGA WAVE"**, già utilizzato da società sportive di primario livello mondiale e da professionisti tra i quali citiamo a titolo esemplificativo Juan Carlos Delellis attuale preparatore atletico della Cimone Volley autore dei test effettuati.



PROTOCOLLO DI VALUTAZIONE

SALTI MASSIMALI CONSECUTIVI

DUE SERIE DA 10 SECONDI CIASCUNA

RECUPERO TRA LA 1° E LA 2° SERIE 1 MIN.

**LA SECONDA SERIE VIENE EFFETTUATA DOPO AVER
INDOSSATO UN POLSINO SCHERMANTE STANSPORT.**

TUTTI GLI ATLETI SONO IN CONDIZIONE

”PRONTO GARA”

VALUTAZIONE: INDICE DI POTENZA ALATTACIDA (W/Kg)

**NUMERO SOGGETTI VALUTATI 8 RICOPRENTI TUTTI I
RUOLI PRESENTI IN GARA**

#	Nome
1	1500 Male _
2	5000 Female _
3	800 Female _
4	800 Female Master _
5	A1 A1
6	. Paolo
7	. Zibi
8	B Davide
9	L Ric...
10	... Lorenzo
11	E Franco
12	C Mikel
13	C Christian
14	C Carlos
15	C Sid...
16	E Giovanna
17	F Murilo
18	F Felipe
19	F Carla
20	C Ramon
21	C Massimo
22	C Andrea
23	C Leondino
24	C Spizzotin
25	C Franz
26	F Ihosvany
27	F Daniel
28	M i Enzo
29	M Dario
30	M i Claudio
31	M Stefano
32	M Marco
33	C i Franco
34	F Antonella
35	F Marco
36	F Giustiano
37	F Diego
38	F Caterina
39	C Michael
40	. Riccardo
41	S. Andrea
42	S. Andrea
43	S Giuseppe
44	S Mario
45	T Marco
46	T Francesca

Oct 25/06 18:41

<< >>

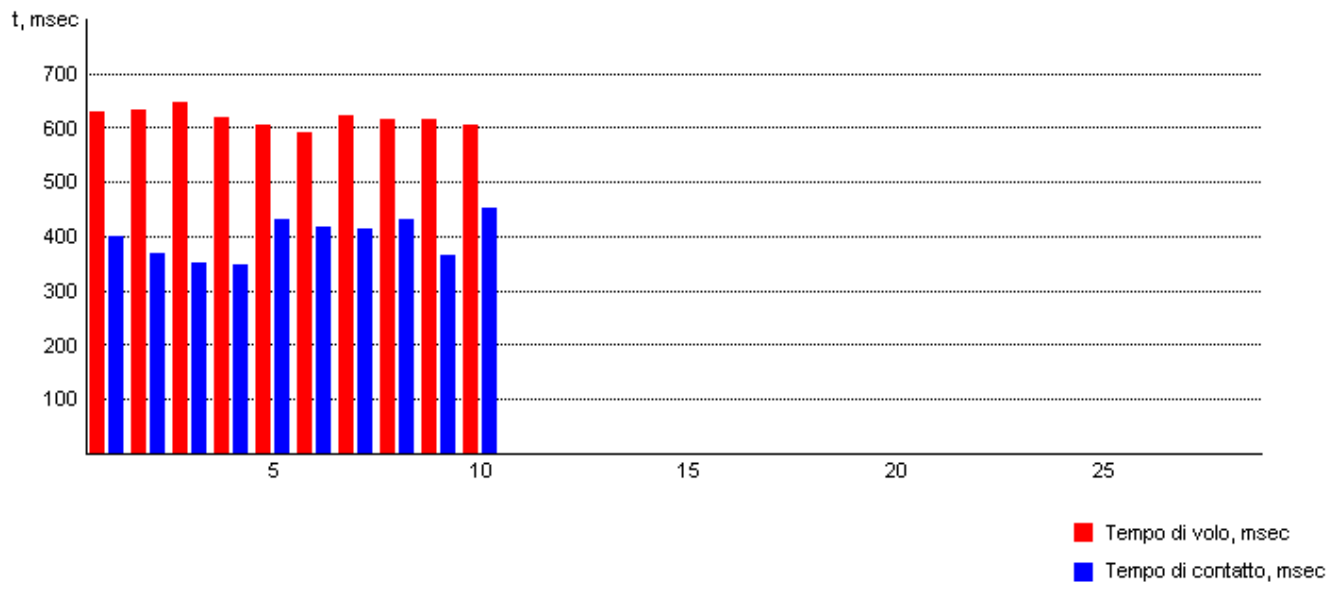
Salva

Start

Stop

Stampa

Annulla



#	Parametri	Valore
1	Valore medio del tempo di volo (msec.)	619
2	Valore medio del tempo di contatto (msec.)	400
3	Numero di salti	10
4	Valore medio dell'altezza di salto (cm.)	47.0
5	Indice di potenza alattacida (W/kg)	4.53

Il Potenziale Neuromuscolare in condizioni Alattacide mostra quanto segue:

Potenza specifica del sistema moderata.
 La potenza è la componente primaria dei movimenti di forza-velocità.

Start Automatico

davide senza

#	Nome
1	1500 Male _
2	5000 Female _
3	800 Female _
4	800 Female Master _
5	A1 A1
6	...
7	Paolo
8	Zibi
9	Davide
10	garcia Ric...
11	Lorenzo
12	Franco
13	Mikel
14	Christian
15	Carlos
16	junior Sid...
17	Giovanna
18	Murilo
19	Felipe
20	Carla
21	Ramon
22	Massimo
23	Andrea
24	Leondino
25	Spizzotin
26	Franz
27	Ihosvany
28	Daniel
29	Enzo
30	Dario
31	Claudio
32	Stefano
33	Marco
34	Franco
35	Antonella
36	Marco
37	Giustiano
38	Diego
39	Caterina
40	Michael
41	Riccardo
42	Andrea
43	Andrea
44	Giuseppe
45	Mario
46	Marco
47	Francesca

Oct 25/06 18:46

<< |

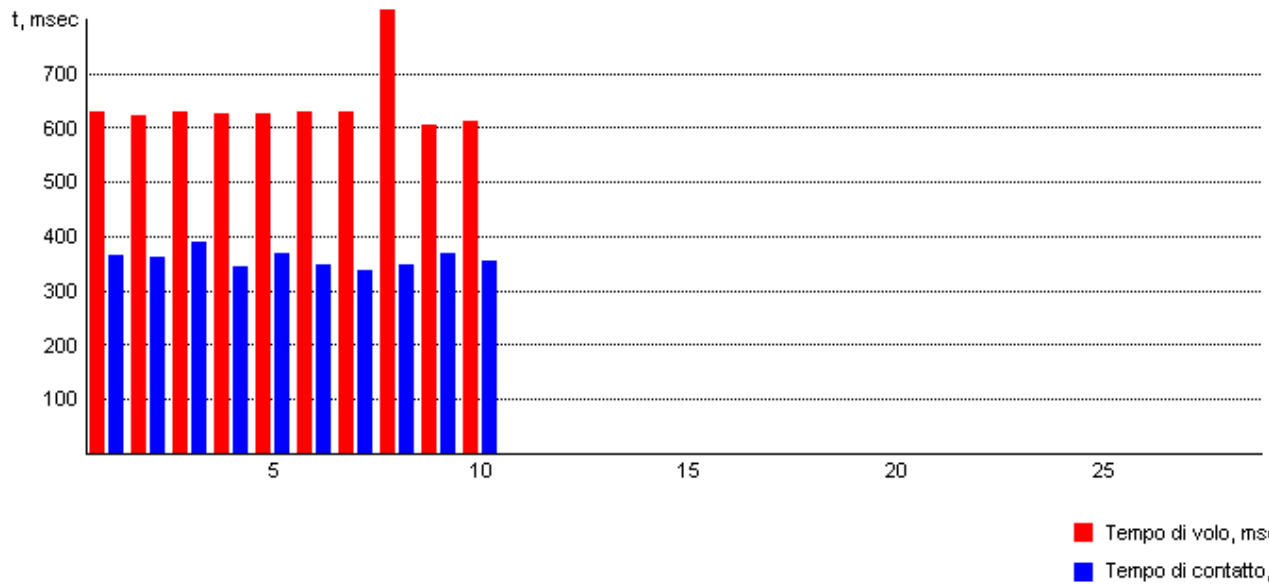
Salva

Start

Stop

Stampa

Annulla



#	Parametri	Valore
1	Valore medio del tempo di volo (msec.)	628
2	Valore medio del tempo di contatto (msec.)	360
3	Numero di salti	10
4	Valore medio dell'altezza di salto (cm.)	48.4
5	Indice di potenza alattacida (W/kg)	4.81

Il Potenziale Neuromuscolare in condizioni Alattacide mostra quanto segue:

Potenza specifica del sistema moderata.
 La potenza è la componente primaria dei movimenti di forza-velocità.

Start Automatico

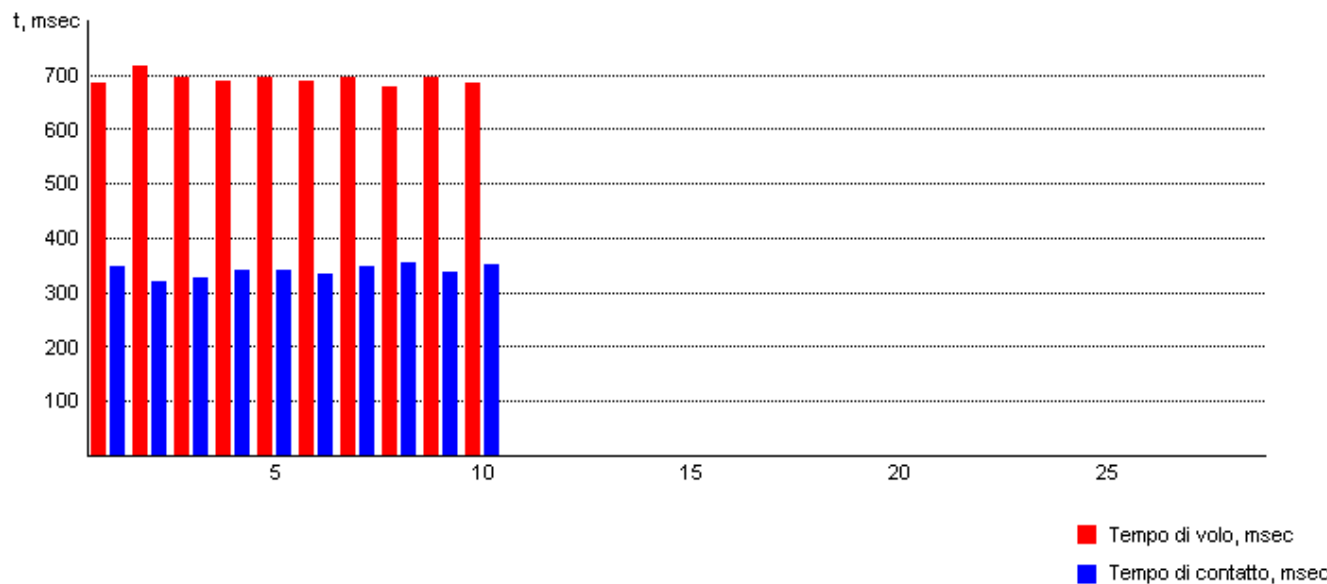
A **B** **I**

davide con

INCREMENTO DI FORZA DA 4,58 A 4,81 +6,18%

#	Nome
1	1500 Male _
2	5000 Female _
3	800 Female _
4	800 Female Master _
5	A1 A1
6	A Paolo
7	B Zibi
8	B Davide
9	B garcia Ric...
10	B Lorenzo
11	B Franco
12	C Mikel
13	C Christian
14	D Carlos
15	D junior Sid...
16	E Giovanna
17	E Murilo
18	F Felipe
19	F Carla
20	G Ramon
21	G Massimo
22	G Andrea
23	G Leondino
24	G Spizzotin
25	G Franz
26	H Ihosvany
27	H Daniel
28	M Enzo
29	M Dario
30	M Claudio
31	M Stefano
32	N Marco
33	O Franco
34	P Antonella
35	P Marco
36	P Giustiano
37	P Diego
38	R Caterina
39	S Michael
40	S Riccardo
41	S Andrea
42	S Andrea
43	S Giuseppe
44	S Mario
45	T Marco
46	T Francesca

Oct 25/06 18:05



#	Parametri	Valore
1	Valore medio del tempo di volo (msec.)	694
2	Valore medio del tempo di contatto (msec.)	341
3	Numero di salti	10
4	Valore medio dell'altezza di salto (cm.)	59.0
5	Indice di potenza alattacida (W/kg)	5.60

Il Potenziale Neuromuscolare in condizioni Alattacide mostra quanto segue:

Potenza specifica del sistema alta.
 La potenza è la componente primaria dei movimenti di forza-velocità.

Start Automatico

senza

#	Nome
1	1500 Male _
2	5000 Female _
3	800 Female _
4	800 Female Master _
5	A1 A1
6	A Paolo
7	B Zibi
8	B Davide
9	B garcia Ric...
10	B Lorenzo
11	E Franco
12	C Mikel
13	C Christian
14	D Carlos
15	D junior Sid...
16	E Giovanna
17	E Murilo
18	F Felipe
19	F Carla
20	G Ramon
21	G Massimo
22	G Andrea
23	G Leondino
24	G Spizzotin
25	G Franz
26	H Ihosvany
27	H Daniel
28	M Enzo
29	M Dario
30	M Claudio
31	M Stefano
32	N Marco
33	O Franco
34	P Antonella
35	P Marco
36	P Giustiano
37	P Diego
38	R Caterina
39	S Michael
40	S Riccardo
41	S Andrea
42	S Andrea
43	S Giuseppe
44	S Mario
45	T Marco
46	T Francesca

Oct 25/06 18:08

<< >>

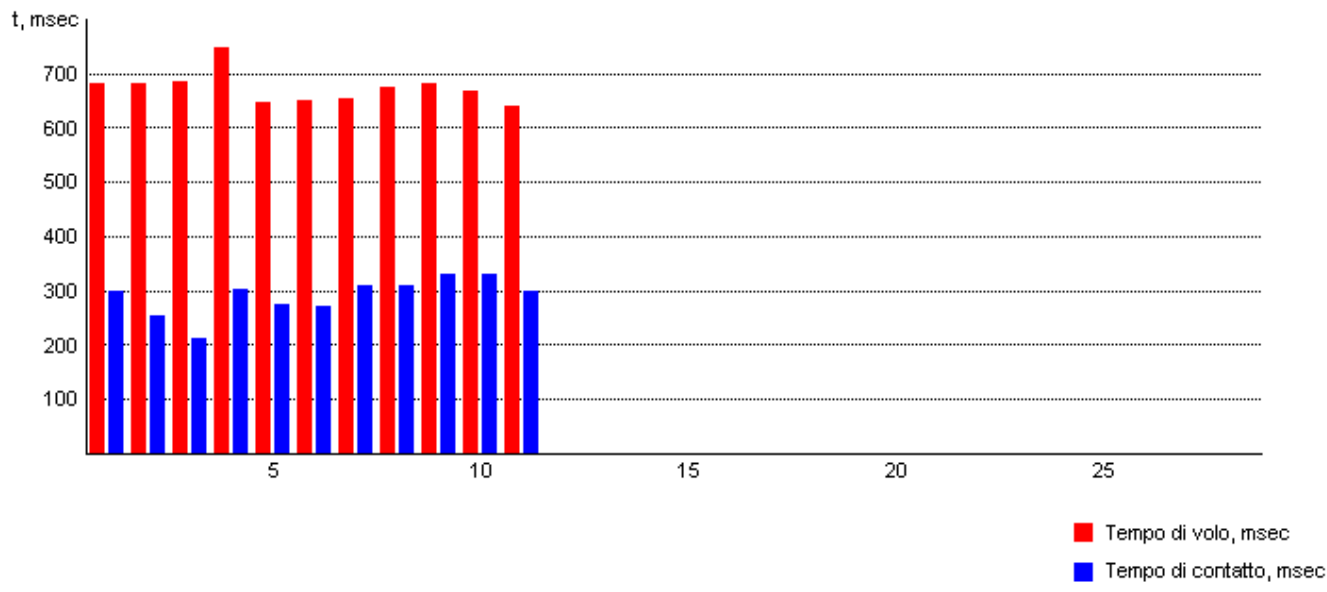
Salva

Start

Stop

Stampa

Annulla



#	Parametri	Valore
1	Valore medio del tempo di volo (msec.)	675
2	Valore medio del tempo di contatto (msec.)	292
3	Numero di salti	11
4	Valore medio dell'altezza di salto (cm.)	55.9
5	Indice di potenza alattacida (W/kg)	5.68

Il Potenziale Neuromuscolare in condizioni Alattacide mostra quanto segue:

Potenza specifica del sistema molto alta.
 Approssimativamente uguali contributi di potenza e velocità nei movimenti di forza-velocità.

Start Automatico

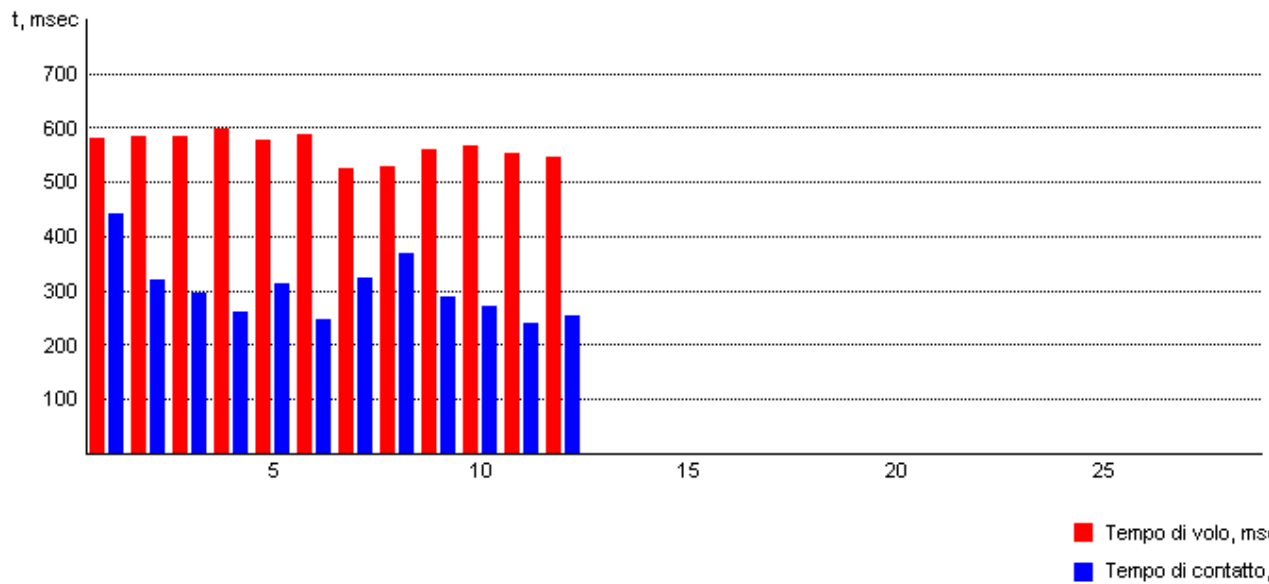
A **B** **I**

con

INCREMENTO DI FORZA DA 5,60 A 5,68 +1,42%

#	Nome
1	1500 Male _
2	5000 Female _
3	800 Female _
4	800 Female Master _
5	A1 A1
6	A Paolo
7	B Zibi
8	B Davide
9	B garcia Ric...
10	B Lorenzo
11	B Franco
12	C Mikel
13	C Christian
14	D Carlos
15	D junior Sid...
16	E Giovanna
17	E Murilo
18	F Felipe
19	F Carla
20	G Ramon
21	G Massimo
22	G Andrea
23	G Leondino
24	G Spizzotin
25	G Franz
26	H Ihosvany
27	H Daniel
28	M Enzo
29	M Dario
30	M Claudio
31	M Stefano
32	N Marco
33	O Franco
34	P Antonella
35	P Marco
36	P Giustiano
37	P Diego
38	R Caterina
39	S Michael
40	S Riccardo
41	S Andrea
42	S Andrea
43	S Giuseppe
44	S Mario
45	T Marco
46	T Francesca

Oct 25/06 19:03



#	Parametri	Valore
1	Valore medio del tempo di volo (msec.)	567
2	Valore medio del tempo di contatto (msec.)	291
3	Numero di salti	12
4	Valore medio dell'altezza di salto (cm.)	39.4
5	Indice di potenza alattacida (W/kg)	4.51

Il Potenziale Neuromuscolare in condizioni Alattacide mostra quanto segue:

Potenza specifica del sistema moderata.
 La potenza è la componente primaria dei movimenti di forza-velocità.

Start Automatico

senza

#	Nome
1	1500 Male _
2	5000 Female _
3	800 Female _
4	800 Female Master _
5	A1 A1
6	A Paolo
7	B Zibi
8	B Davide
9	B garcia Ric...
10	B Lorenzo
11	B Franco
12	C Mikel
13	C Christian
14	D Carlos
15	D junior Sid...
16	E Giovanna
17	E Murilo
18	F Felipe
19	F Carla
20	G Ramon
21	G Massimo
22	G Andrea
23	G Leondino
24	G Spizzotin
25	G Franz
26	H Ihosvany
27	H Daniel
28	M Enzo
29	M Dario
30	M Claudio
31	M Stefano
32	N Marco
33	O Franco
34	P Antonella
35	P Marco
36	P Giustiano
37	P Diego
38	R Caterina
39	S Michael
40	S Riccardo
41	S Andrea
42	S Andrea
43	S Giuseppe
44	S Mario
45	T Marco
46	T Francesca

Oct 25/06 19:06

<< |

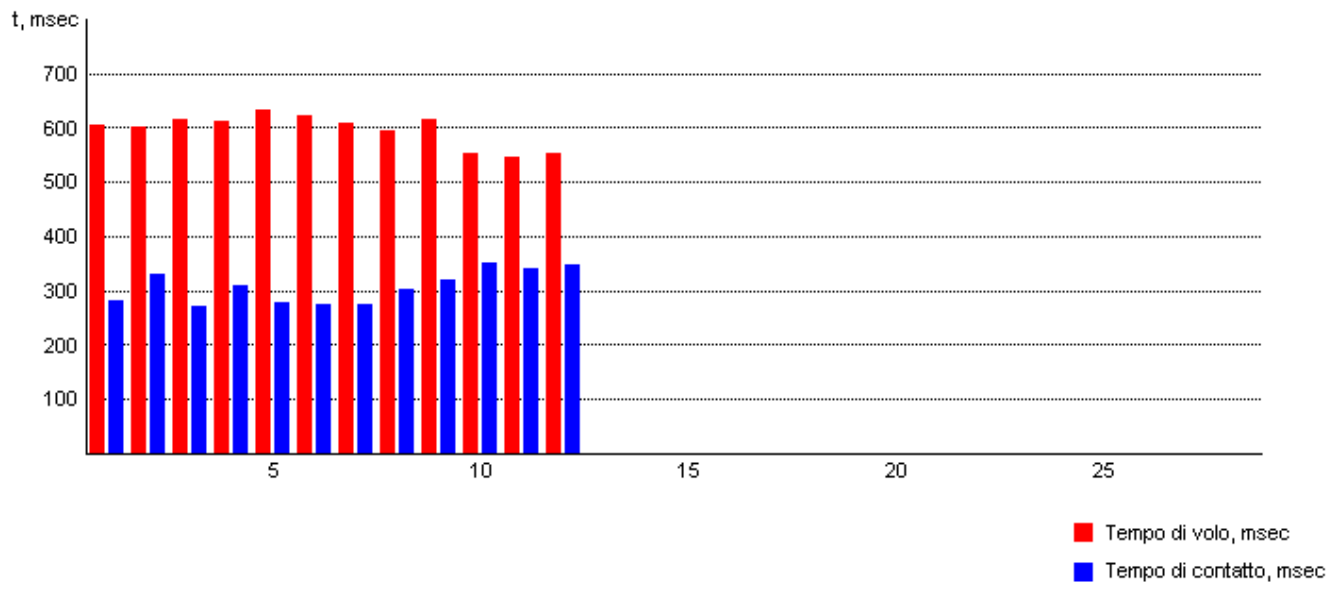
Salva

Start

Stop

Stampa

Annulla



#	Parametri	Valore
1	Valore medio del tempo di volo (msec.)	598
2	Valore medio del tempo di contatto (msec.)	308
3	Numero di salti	12
4	Valore medio dell'altezza di salto (cm.)	43.8
5	Indice di potenza alattacida (W/kg)	4.75

Il Potenziale Neuromuscolare in condizioni Alattacide mostra quanto segue:

Potenza specifica del sistema moderata.
 La potenza è la componente primaria dei movimenti di forza-velocità.

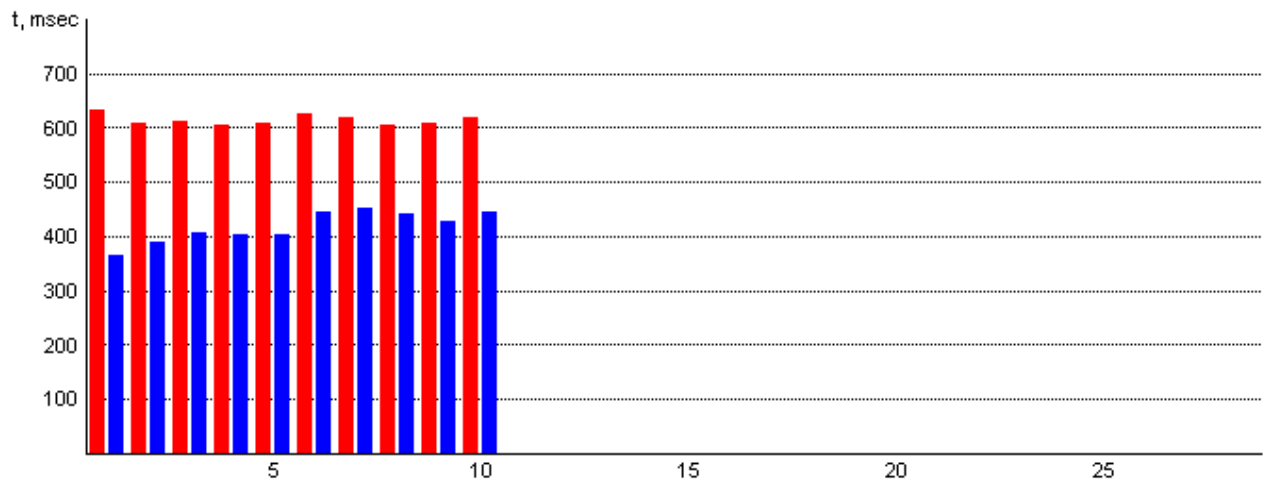
Start Automatico

con

INCREMENTO DI FORZA DA 4,51 A 4,75 +5,32%

#	Nome
1	1500 Male _
2	5000 Female _
3	800 Female _
4	800 Female Master _
5	A1 A1
6	A Paolo
7	B Zibi
8	B Davide
9	B garcia Ric...
10	B Lorenzo
11	B Franco
12	C Mikel
13	C Christian
14	D Carlos
15	D junior Sid...
16	E Giovanna
17	E Murilo
18	F Felipe
19	F Carla
20	G Ramon
21	G Massimo
22	G Andrea
23	G Leondino
24	G Spizzotin
25	G Franz
26	H Ihosvany
27	H Daniel
28	M Enzo
29	M Dario
30	M Claudio
31	M Stefano
32	N Marco
33	O Franco
34	P Antonella
35	P Marco
36	P Giustiano
37	P Diego
38	R Caterina
39	S Michael
40	S Riccardo
41	S Andrea
42	S Andrea
43	S Giuseppe
44	S Mario
45	T Marco
46	T Francesca

Oct 25/06 18:49



■ Tempo di volo, msec
■ Tempo di contatto, msec

#	Parametri	Valore
1	Valore medio del tempo di volo (msec.)	616
2	Valore medio del tempo di contatto (msec.)	419
3	Numero di salti	10
4	Valore medio dell'altezza di salto (cm.)	46.5
5	Indice di potenza alattacida (W/kg)	4.42

Il Potenziale Neuromuscolare in condizioni Alattacide mostra quanto segue:

Potenza specifica del sistema moderata.
 La potenza è la componente primaria dei movimenti di forza-velocità.

Start Automatico

senza

#	Nome
1	1500 Male _
2	5000 Female _
3	800 Female _
4	800 Female Master _
5	A1 A1
6	A Paolo
7	B Zibi
8	B Davide
9	B garcia Ric...
10	B Lorenzo
11	B Franco
12	C Mikel
13	C Christian
14	D Carlos
15	D junior Sid...
16	E Giovanna
17	E Murilo
18	F Felipe
19	F Carla
20	G Ramon
21	G Massimo
22	G Andrea
23	G Leondino
24	G Spizzotin
25	G Franz
26	H Ihosvany
27	H Daniel
28	M Enzo
29	M Dario
30	M Claudio
31	M Stefano
32	N Marco
33	O Franco
34	P Antonella
35	P Marco
36	P Giustiano
37	P Diego
38	R Caterina
39	S Michael
40	S Riccardo
41	S Andrea
42	S Andrea
43	S Giuseppe
44	S Mario
45	T Marco
46	T Francesca

Oct 25/06 18:51

<< |

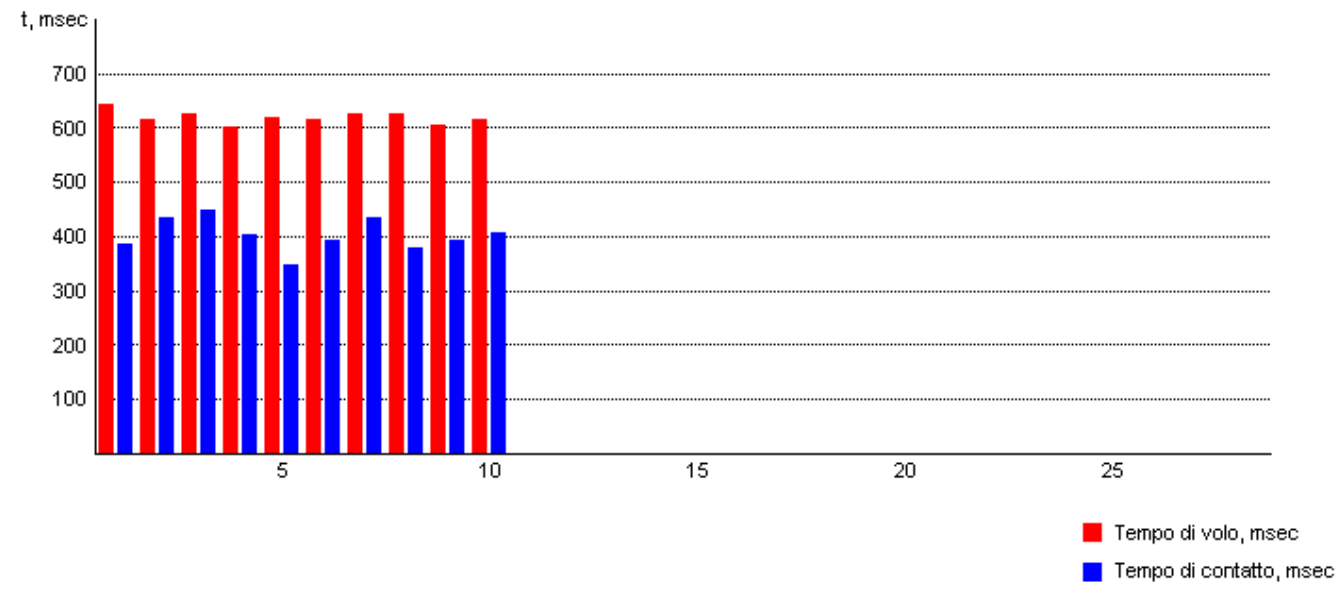
Salva

Start

Stop

Stampa

Annulla



#	Parametri	Valore
1	Valore medio del tempo di volo (msec.)	621
2	Valore medio del tempo di contatto (msec.)	404
3	Numero di salti	10
4	Valore medio dell'altezza di salto (cm.)	47.3
5	Indice di potenza alattacida (W/kg)	4.53

Il Potenziale Neuromuscolare in condizioni Alattacide mostra quanto segue:

Potenza specifica del sistema moderata.
 La potenza è la componente primaria dei movimenti di forza-velocità.

Start Automatico

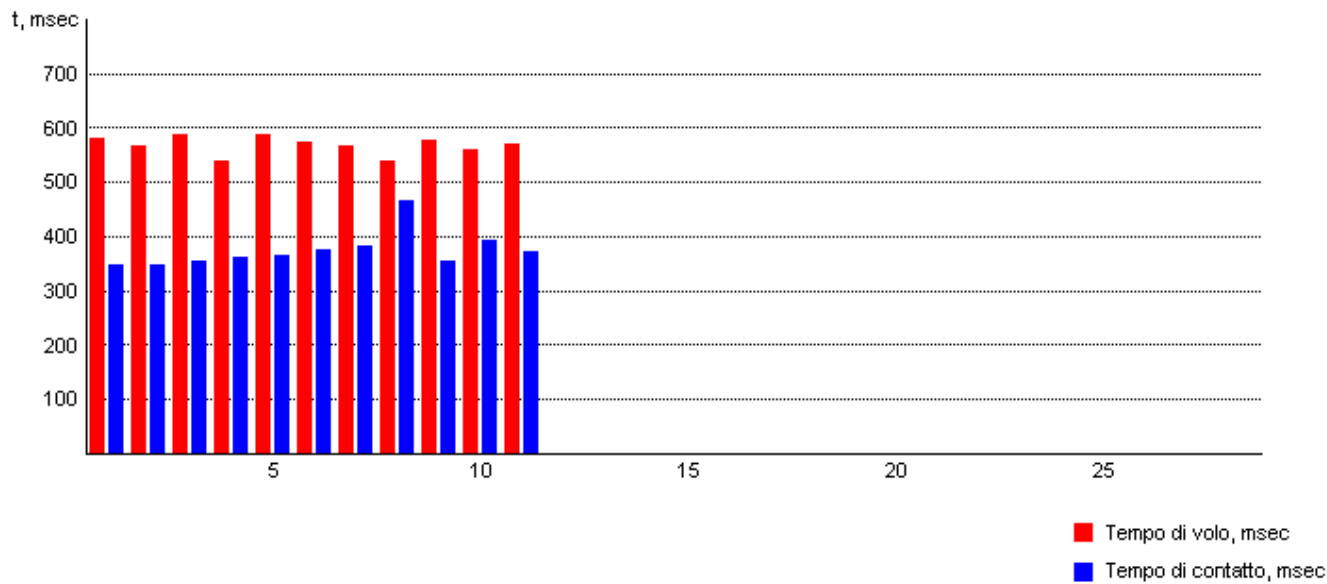
giombo con

A B I ✂ 📄 📁 📋 📌

INCREMENTO DI FORZA DA 4,42 A 4,53 +2,48%

#	Nome
1	1500 Male _
2	5000 Female _
3	800 Female _
4	800 Female Master _
5	A1 A1
6	A Paolo
7	B Zibi
8	B Davide
9	B garcia Ric...
10	B Lorenzo
11	B Franco
12	C Mikel
13	C Christian
14	D Carlos
15	D junior Sid...
16	E Giovanna
17	E Murilo
18	F Felipe
19	F Carla
20	G Ramon
21	G Massimo
22	G Andrea
23	G Leondino
24	G Spizzotin
25	G Franz
26	H Ihosvany
27	H Daniel
28	M Enzo
29	M Dario
30	M Claudio
31	M Stefano
32	N Marco
33	O Franco
34	P Antonella
35	P Marco
36	P Giustiano
37	P Diego
38	R Caterina
39	S Michael
40	S Riccardo
41	S Andrea
42	S Andrea
43	S Giuseppe
44	S Mario
45	T Marco
46	T Francesca

Oct 25/06 19:04



#	Parametri	Valore
1	Valore medio del tempo di volo (msec.)	570
2	Valore medio del tempo di contatto (msec.)	376
3	Numero di salti	11
4	Valore medio dell'altezza di salto (cm.)	39.8
5	Indice di potenza alattacida (W/kg)	4.13

Il Potenziale Neuromuscolare in condizioni Alattacide mostra quanto segue:

Potenza specifica del sistema bassa.
 La potenza è la componente primaria dei movimenti di forza-velocità.

Start Automatico

#	Nome
1	1500 Male _
2	5000 Female _
3	800 Female _
4	800 Female Master _
5	A1 A1
6	A Paolo
7	B Zibi
8	B Davide
9	B garcia Ric...
10	B Lorenzo
11	B Franco
12	C Mikel
13	C Christian
14	D Carlos
15	D junior Sid...
16	E Giovanna
17	E Murilo
18	F Felipe
19	F Carla
20	G Ramon
21	G Massimo
22	G Andrea
23	G Leondino
24	G Spizzotin
25	G Franz
26	H Ihosvany
27	H Daniel
28	M Enzo
29	M Dario
30	M Claudio
31	M Stefano
32	N Marco
33	O Franco
34	P Antonella
35	P Marco
36	P Giustiano
37	P Diego
38	R Caterina
39	S Michael
40	S Riccardo
41	S Andrea
42	S Andrea
43	S Giuseppe
44	S Mario
45	T Marco
46	T Francesca

Oct 25/06 19:07

<< |

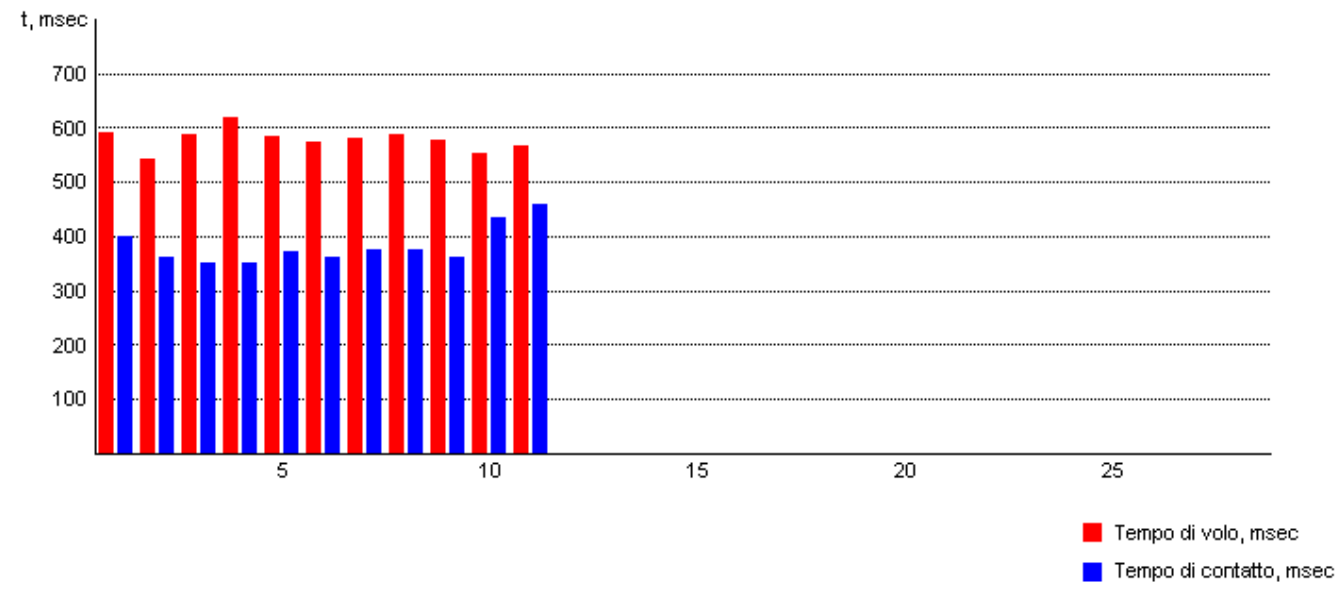
Salva

Start

Stop

Stampa

Annulla



#	Parametri	Valore
1	Valore medio del tempo di volo (msec.)	580
2	Valore medio del tempo di contatto (msec.)	383
3	Numero di salti	11
4	Valore medio dell'altezza di salto (cm.)	41.2
5	Indice di potenza alattacida (W/kg)	4.20

Il Potenziale Neuromuscolare in condizioni Alattacide mostra quanto segue:

Potenza specifica del sistema bassa.
 La potenza è la componente primaria dei movimenti di forza-velocità.

Start Automatico

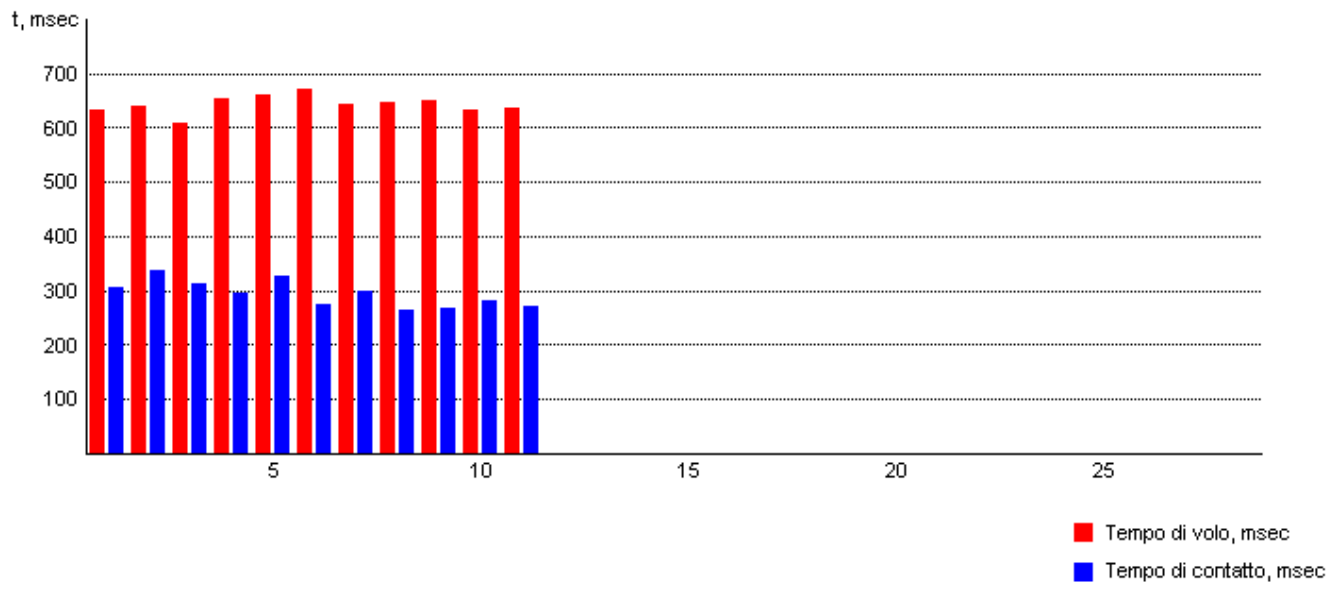
con

Bold Italic Underline Bulleted List Numbered List Indent

INCREMENTO DI FORZA DA 4,13 A 4,20 +1,69%

#	Nome
1	1500 Male _
2	5000 Female _
3	800 Female _
4	800 Female Master _
5	A1 A1
6	A Paolo
7	B Zibi
8	B Davide
9	B garcia Ric...
10	B Lorenzo
11	B Franco
12	C Mikel
13	C Christian
14	D Carlos
15	D junior Sid...
16	E Giovanna
17	E Murilo
18	F Felipe
19	F Carla
20	G Ramon
21	G Massimo
22	G Andrea
23	G Leondino
24	G Spizzotin
25	G Franz
26	H Ihosvany
27	H Daniel
28	M Enzo
29	M Dario
30	M Claudio
31	M Stefano
32	N Marco
33	O Franco
34	P Antonella
35	P Marco
36	P Giustiano
37	P Diego
38	R Caterina
39	S Michael
40	S Riccardo
41	S Andrea
42	S Andrea
43	S Giuseppe
44	S Mario
45	T Marco
46	T Francesca

Oct 25/06 19:13



#	Parametri	Valore
1	Valore medio del tempo di volo (msec.)	645
2	Valore medio del tempo di contatto (msec.)	296
3	Numero di salti	11
4	Valore medio dell'altezza di salto (cm.)	51.0
5	Indice di potenza alattacida (W/kg)	5.32

Il Potenziale Neuromuscolare in condizioni Alattacide mostra quanto segue:

Potenza specifica del sistema alta.
 La potenza è la componente primaria dei movimenti di forza-velocità.

Start Automatico

senza

#	Nome
1	1500 Male _
2	5000 Female _
3	800 Female _
4	800 Female Master _
5	A1 A1
6	A Paolo
7	B Zibi
8	B Davide
9	B garcia Ric...
10	B Lorenzo
11	B Franco
12	C Mikel
13	C Christian
14	D Carlos
15	D junior Sid...
16	E Giovanna
17	E Murilo
18	F Felipe
19	F Carla
20	G Ramon
21	G Massimo
22	G Andrea
23	G Leondino
24	G Spizzotin
25	G Franz
26	H Ihosvany
27	H Daniel
28	M Enzo
29	M Dario
30	M Claudio
31	M Stefano
32	N Marco
33	O Franco
34	P Antonella
35	P Marco
36	P Giustiano
37	P Diego
38	R Caterina
39	S Michael
40	S Riccardo
41	S Andrea
42	S Andrea
43	S Giuseppe
44	S Mario
45	T Marco
46	T Francesca

Oct 25/06 19:15



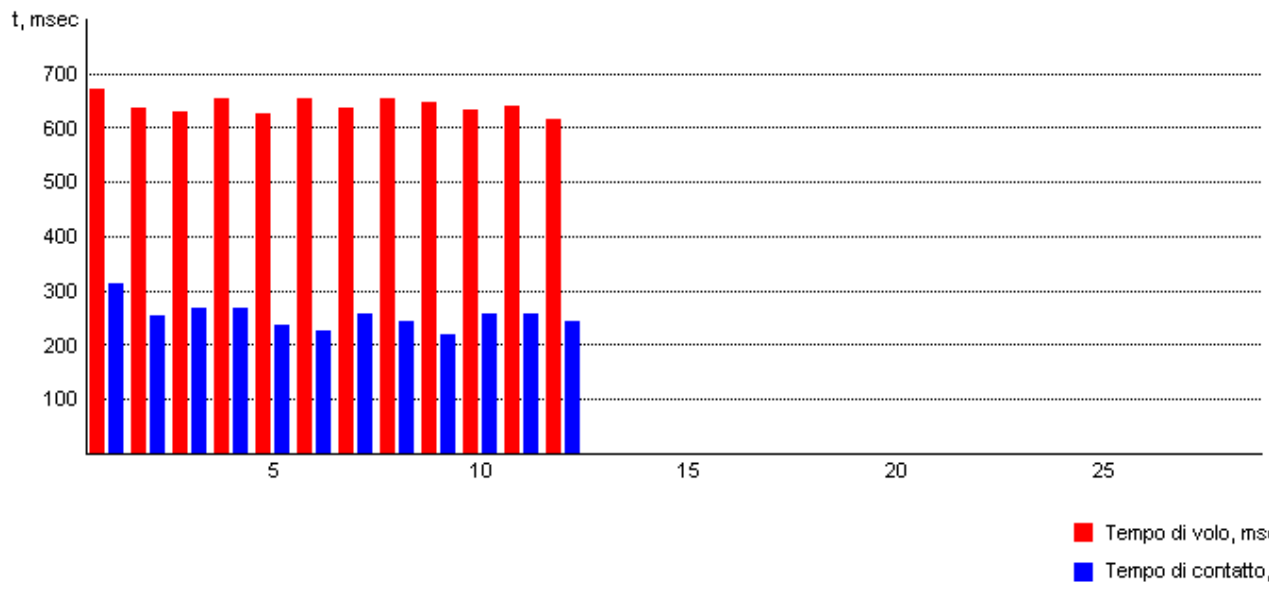
Salva

Start

Stop

Stampa

Annulla



#	Parametri	Valore
1	Valore medio del tempo di volo (msec.)	642
2	Valore medio del tempo di contatto (msec.)	255
3	Numero di salti	12
4	Valore medio dell'altezza di salto (cm.)	50.5
5	Indice di potenza alattacida (W/kg)	5.53

Il Potenziale Neuromuscolare in condizioni Alattacide mostra quanto segue:

Potenza specifica del sistema alta.
 Approssimativamente uguali contributi di potenza e velocità nei movimenti di forza-velocità.

Start Automatico

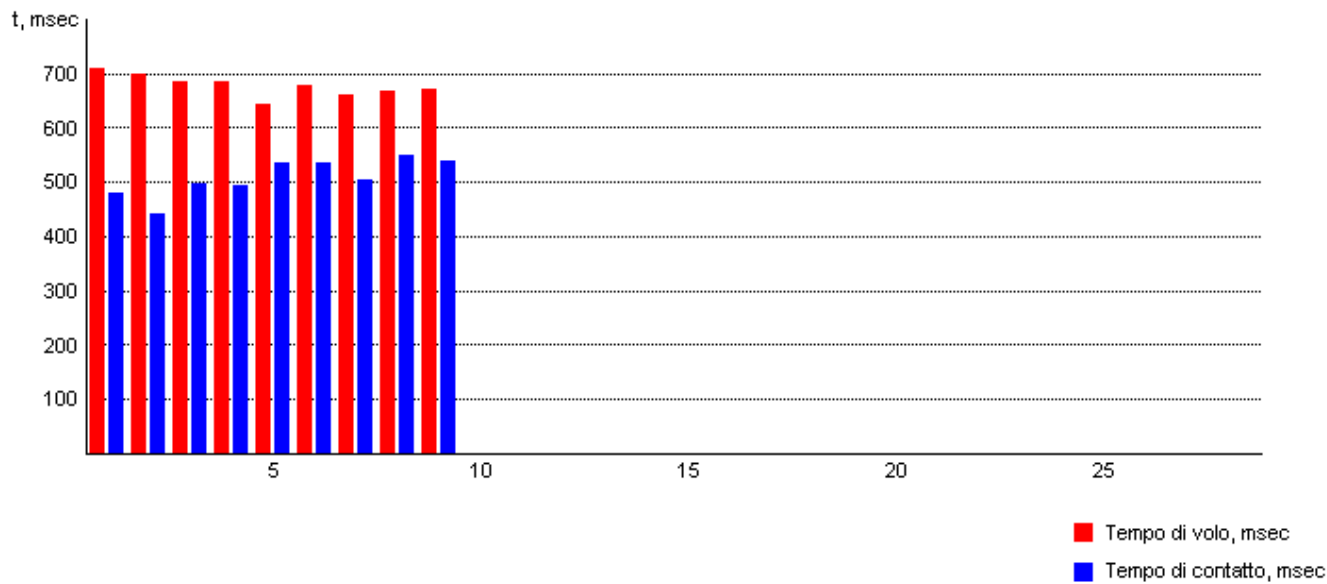


con

INCREMENTO DI FORZA DA 5,32 A 5,53 +3,94%

#	Nome
1	1500 Male _
2	5000 Female _
3	800 Female _
4	800 Female Master _
5	A1 A1
6	A Paolo
7	B Zibi
8	B Davide
9	B garcia Ric...
10	B Lorenzo
11	B Franco
12	C Mikel
13	C Christian
14	D Carlos
15	D junior Sid...
16	E Giovanna
17	E Murilo
18	F Felipe
19	F Carla
20	G Ramon
21	G Massimo
22	G Andrea
23	G Leondino
24	G Spizzotin
25	G Franz
26	F Ihosvany
27	H Daniel
28	M Enzo
29	M Dario
30	M Claudio
31	M Stefano
32	N Marco
33	D Franco
34	P Antonella
35	P Marco
36	P Giustiano
37	P Diego
38	R Caterina
39	S Michael
40	S Riccardo
41	S Andrea
42	S Andrea
43	S Giuseppe
44	S Mario
45	T Marco
46	T Francesca

Oct 25/06 18:17



#	Parametri	Valore
1	Valore medio del tempo di volo (msec.)	679
2	Valore medio del tempo di contatto (msec.)	510
3	Numero di salti	9
4	Valore medio dell'altezza di salto (cm.)	56.5
5	Indice di potenza alattacida (W/kg)	4.67

Il Potenziale Neuromuscolare in condizioni Alattacide mostra quanto segue:

Potenza specifica del sistema moderata.
 La potenza è la componente primaria dei movimenti di forza-velocità.

Start Automatico

senza

#	Nome
1	1500 Male _
2	5000 Female _
3	800 Female _
4	800 Female Master _
5	A1 A1
6	A Paolo
7	B Zibi
8	B Davide
9	B garcia Ric...
10	B Lorenzo
11	B Franco
12	C Mikel
13	C Christian
14	D Carlos
15	D junior Sid...
16	E Giovanna
17	E Murilo
18	F Felipe
19	F Carla
20	G Ramon
21	G Massimo
22	G Andrea
23	G Leondino
24	G Spizzotin
25	G Franz
26	H Ihosvany
27	H Daniel
28	M Enzo
29	M Dario
30	M Claudio
31	M Stefano
32	N Marco
33	O Franco
34	P Antonella
35	P Marco
36	P Giustiano
37	P Diego
38	R Caterina
39	S Michael
40	S Riccardo
41	S Andrea
42	S Andrea
43	S Giuseppe
44	S Mario
45	T Marco
46	T Francesca

Oct 25/06 18:19

<< >>

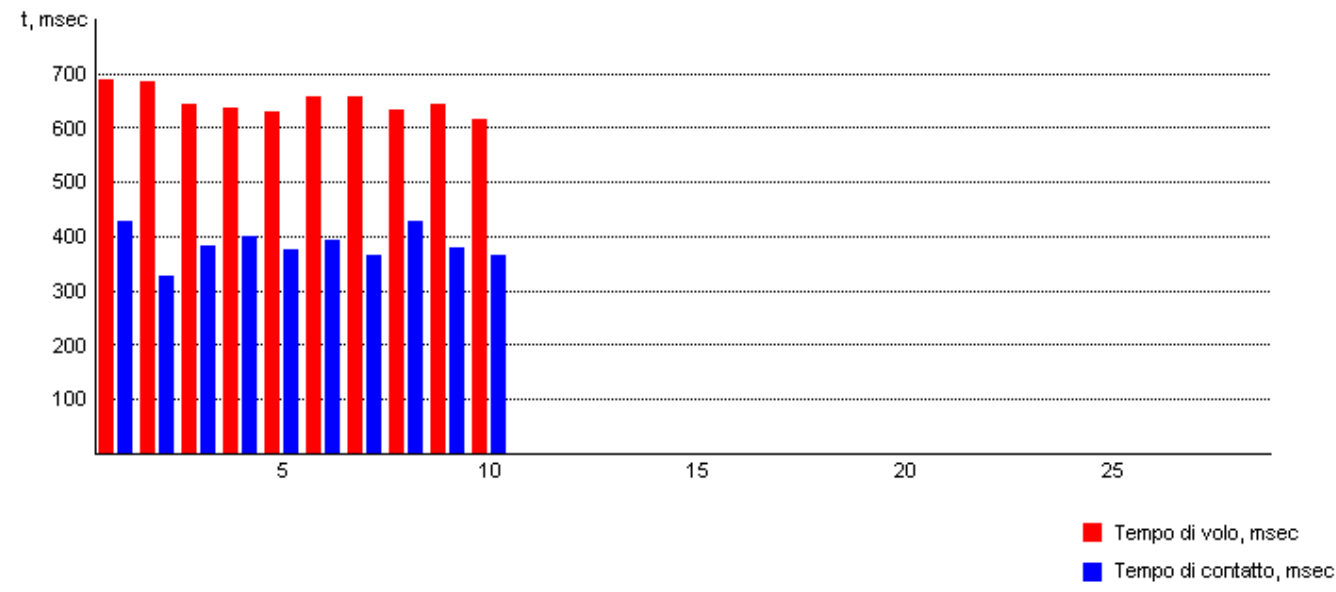
Salva

Start

Stop

Stampa

Annulla



#	Parametri	Valore
1	Valore medio del tempo di volo (msec.)	650
2	Valore medio del tempo di contatto (msec.)	385
3	Numero di salti	10
4	Valore medio dell'altezza di salto (cm.)	51.8
5	Indice di potenza alattacida (W/kg)	4.92

Il Potenziale Neuromuscolare in condizioni Alattacide mostra quanto segue:

Potenza specifica del sistema moderata.
 La potenza è la componente primaria dei movimenti di forza-velocità.

Start Automatico

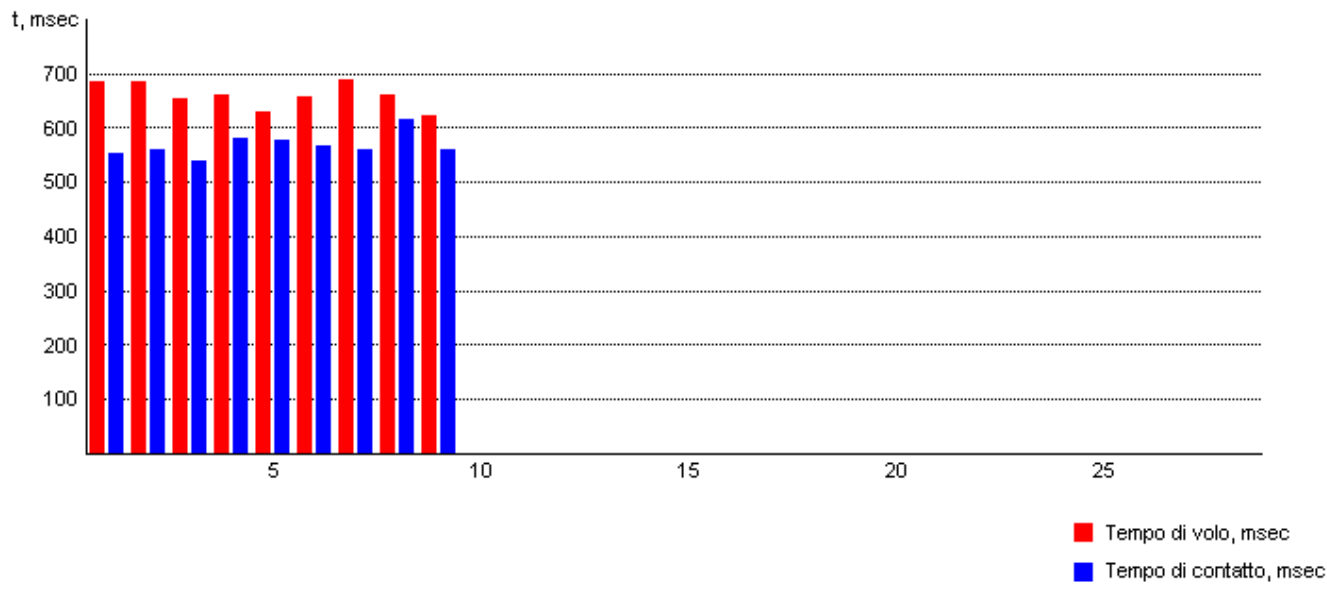
con

A **B** **I**

INCREMENTO DI FORZA DA 4,67 A 4,92 +5,35%

#	Nome
1	1500 Male _
2	5000 Female _
3	800 Female _
4	800 Female Master _
5	A1 A1
6	A Paolo
7	B Zibi
8	B Davide
9	B rcia Ric...
10	B Lorenzo
11	B Franco
12	C Mikel
13	C Christian
14	D Carlos
15	D junior Sid...
16	E Giovanna
17	E Murilo
18	F Felipe
19	F Carla
20	G Ramon
21	G Massimo
22	G Andrea
23	G Leondino
24	G Spizzotin
25	G Franz
26	H Ihosvany
27	H Daniel
28	M Enzo
29	M Dario
30	M Claudio
31	M Stefano
32	N Marco
33	O Franco
34	P Antonella
35	P Marco
36	P Giustiano
37	P Diego
38	R Caterina
39	S Michael
40	S Riccardo
41	S Andrea
42	S Andrea
43	S Giuseppe
44	S Mario
45	T Marco
46	T Francesca

Oct 25/06 18:34



#	Parametri	Valore
1	Valore medio del tempo di volo (msec.)	662
2	Valore medio del tempo di contatto (msec.)	569
3	Numero di salti	9
4	Valore medio dell'altezza di salto (cm.)	53.7
5	Indice di potenza alattacida (W/kg)	4.28

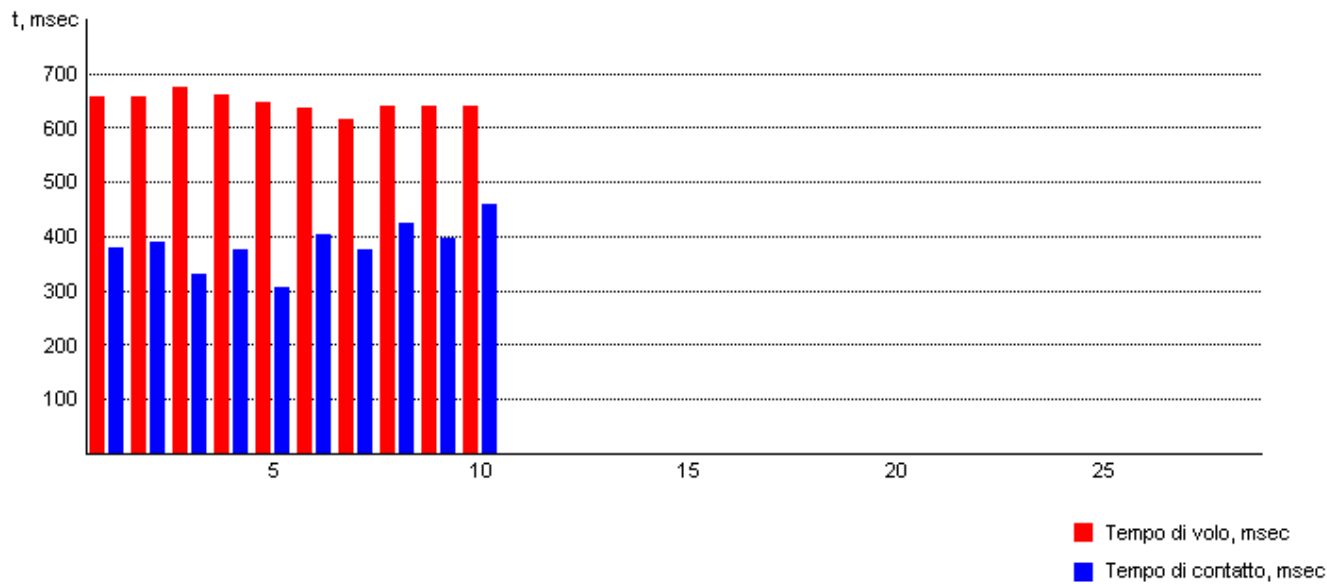
Il Potenziale Neuromuscolare in condizioni Alattacide mostra quanto segue:

Potenza specifica del sistema bassa.
 La potenza è la componente primaria dei movimenti di forza-velocità.

Start Automatico

#	Nome
1	1500 Male _
2	5000 Female _
3	800 Female _
4	800 Female Master _
5	A1 A1
6	A Paolo
7	B Zibi
8	B Davide
9	B garcia Ric...
10	B Lorenzo
11	B Franco
12	C Mikel
13	C Christian
14	D Carlos
15	D junior Sid...
16	E Giovanna
17	E Murilo
18	F Felipe
19	F Carla
20	G Ramon
21	G Massimo
22	G Andrea
23	G Leondino
24	G Spizzotin
25	G Franz
26	H Ihosvany
27	H Daniel
28	M Enzo
29	M Dario
30	M Claudio
31	M Stefano
32	N Marco
33	O Franco
34	P Antonella
35	P Marco
36	P Giustiano
37	P Diego
38	R Caterina
39	S Michael
40	S Riccardo
41	S Andrea
42	S Andrea
43	S Giuseppe
44	S Mario
45	T Marco
46	T Francesca

Oct 25/06 18:38



#	Parametri	Valore
1	Valore medio del tempo di volo (msec.)	648
2	Valore medio del tempo di contatto (msec.)	385
3	Numero di salti	10
4	Valore medio dell'altezza di salto (cm.)	51.5
5	Indice di potenza alattacida (W/kg)	4.89

Il Potenziale Neuromuscolare in condizioni Alattacide mostra quanto segue:

Potenza specifica del sistema moderata.
 La potenza è la componente primaria dei movimenti di forza-velocità.

Start Automatico

con tagliati

INCREMENTO DI FORZA DA 4,28 A 4,89 +14,25%

VARIAZIONI POSITIVE	8 SU 8
RANGE DI INCREMENTO FORZA	1,42%-14,25%
MEDIA INCREMENTO FORZA	5,07%

CONSIDERAZIONI FINALI

LA SCHERMATURA E' EFFICACE IN TUTTI GLI ATLETI TESTATI. NONOSTANTE LA SCHERMATURA FORNITA DAL SOLO POLSINO NON SIA OTTIMALE DETERMINA UGUALMENTE UN INCREMENTO DI FORZA CHE DIFFERISCE IN FUNZIONE DEL GRADO DI SENSIBILITA' PERSONALE DI OGNI ATLETA ALL'INTERAZIONE DEI CAMPI ELETTROMAGNETICI.

CONSIDERANDO CHE IL TEST E' STATO EFFETTUATO IN ALLENAMENTO QUINDI IN CONDIZIONI PIU FAVOREVOLI (MENO INTENSITA DI CAMPI E.M.) RISPETTO A QUELLE PRESENTI IN GARA, UTILIZZANDO IN ABBINAMENTO POLSINO E CALZE DA GIOCO, SIAMO CERTI DI POTER RAGGIUNGERE UN INCREMENTO DI FORZA DETERMINABILE FIN OLTRE IL 10% MEDIO DI SQUADRA.

IL BENEFICIO RISCOSTRATO A LIVELLO DI FORZA CONFERMA IN PIENO I TEST EFFETTUATI IN PALESTRE DI PESISTICA SU ATLETI E BODY BUILDER.

DA NON SOTTOVALUTARE E' LA CONSIDERAZIONE DELL'EFFETTO POSITIVO A CARATTERE NEURONALE CHE RENDE L'ATLETA PIU REATTIVO.

BIBLIOGRAFIA

Referenze bibliografiche

- Adey W R (1981) Tissue interactions with nonionizing electromagnetic fields *Physiol Rev*, 61, 435
- Adey W R (1993) Biological effects of electromagnetic fields *J Cell Biochem*, 5, 410
- Adey W R, Bawin S M and Lawrence A F (1982) Effects of weak amplitude-modulated microwave fields on calcium efflux from awake cat cerebral cortex *Bioelectromagnetics*, 3, 295
- Alam M T, Barthakur N, Lambert N G and Kasatiya S S (1978) Cytological effects of microwave radiation in Chinese hamster cells in vitro *Can J Genet Cytol*, 20, 23
- Albert E N (1979) Reversibility of microwave-induced blood-brain barrier permeability *Radio Sci*, 14(S), 323
- Albert E N and Kerns J M (1981) Reversible microwave effects on the blood-brain barrier *Brain Res*, 230, 153
- Albert E N, Slaby F, Roche J and Loftus J (1987) Effect of amplitude modulated 147 MHz radiofrequency radiation on calcium ion efflux from avian brain tissue *Radiat Res*, 109, 19
- Allis J W and Sinha-Robinson B L (1987) Temperature-specific inhibition of human cell Na⁺/K⁺ ATPase by 2450 MHz microwave radiation *Bioelectromagnetics*, 8, 203
- Antipenko E N and Koveshnikova I V (1987) Cytogenetic effects of microwaves of non-thermal intensity in mammals *Dokl Akad Nauk SSSR*, 296, 724
- Antonopoulos A, Eisenbrandt H and Obe G (1997) Effects of high-frequency electromagnetic fields on human lymphocytes in vitro *Mutat Res*, 395, 209
- Arber S L and Lin J C (1984) Microwave enhancement of membrane conductance: effects of EDTA, caffeine and tetracaine *Physiol Chem Phys Med NMR*, 16, 469
- Arber S L and Lin J C (1985) Microwave induced changes in nerve cells: effects of modulation and temperature *Bioelectromagnetics*, 6, 257
- Asanami S and Shimono K (1999) High body temperature induces micronuclei in mouse bone marrow *Mutat Res*, 390, 79
- Balode Z (1996) Assessment of radio-frequency electromagnetic radiation by the micronucleus test in Bovine peripheral erythrocytes *Sci Total Environ*, 180, 81
- Bawin S M, Gavallas-Medici R J and Adey W R (1973) Effects of modulated very high frequency fields on specific brain rhythms in cats *Brain Res*, 58, 365
- Bawin S M, Kackzmarek L K, Adey W R. Effects of modulated VHF fields on the Central Nervous System. *Ann NY Acad Sci*, Xx, 71
- Beechey C V, Brooker D, Kowalczyk C I, Saunders R D and Searle A G (1986) Cytogenetic effects of microwave irradiation on male germ cells of the mouse *Int J Radiat Biol*, 50, 909
- Belyaev I Ya (1992) Some biophysical aspects of the genetic effect of low-intensity millimeter waves *Bioelectrochem Bioenerg*, 27, 11
- Berman E, Carter H B and House D (1980) Tests for mutagenesis and reproduction in male rats exposed to 2450 MHz (CW) microwaves *Bioelectromagnetics*, 1, 65
- Blackman C F, Benane S G, Elder J A, House D E, Lampe J A and Faulk J M (1980a) Induction of calcium-ion efflux from brain tissue by radiofrequency radiation: effect of sample number and modulation frequency on the power-density window *Bioelectromagnetics*, 1, 35
- Blackman C F, Benane S G, Joines W T, Hollis M A and House D E (1980b) Calcium-ion efflux from brain tissue: power-density versus internal field-intensity dependencies at 50-MHz RF radiation *Bioelectromagnetics*, 1, 277
- Blackman C F, Kinney L S, House D E and Joines W T (1989) Multiple power density windows and their possible origin *Bioelectromagnetics*, 10(2), 115
- Blackwell R P and Saunders R D (1986) The effects of low-level radiofrequency and microwave radiation on brain tissue and animal behaviour *Int J Radiat Biol*, 50, 761
- Bohr H and Bohr J (2000) Microwave enhanced kinetics observed in ORD studies of a protein *Bioelectromagnetics*, 21, 68
- Borbely A A, Huber R, Graf T, Fuchs B, Gallmann E and Achermann P (1999) Pulsed high-frequency electromagnetic field affects human sleep and sleep electroencephalogram *Neurosci Lett*, 275, 207
- Braune S, Wrocklage C Raczek J, Gailus T and Lucking C H (1998a) Resting blood pressure increase during exposure to a radiofrequency electromagnetic field *Lancet*, 351, 1857
- Braune S, Wrocklage C Raczek J, Gailus T and Lucking C H (1998b) Radiofrequency electromagnetic field from mobile phones *Lancet*, 352, 576
- Brück K and Hinzel P (1990) Thermoafferent networks and their adaptative modifications *Encycl Pharmacol Ther*, 6, 129
- Brusick D, Albertini R, McRee D, Peterson D, Williams G, Hanawalt P and Preston J (1998) Genotoxicity of radiofrequency radiations *Environ Mol Mutagen*, 32, 1
- Cantor K P, Dosemeci M, Brinton L A and Stewart P A (1995) Re: Breast cancer mortality among female electrical workers in the United States *J Natl Cancer Inst*, 87, 227
- Chizhenkova R A and Safroshkina A A (1996) Electrical reactions of brain to microwave irradiation *Electro-Magnetobiology*, 15, 253